

鋼合成桁床版へ膨張コンクリートの利用

和歌山工業高等専門学校 正会員 戸川 一夫
同上 同上 中本 純次

1. まえがき

膨張コンクリートを鋼合成構造の床版部に利用しようとする目的で、その基礎的な2,3の力学的性質を明らかにするために実験を行は、たのでここに報告する。膨張コンクリートの利用目的としてはケミカルプレストレストコンクリートをねらっており、膨張率はJIS規格のA法によると 500×10^{-6} 程度えられている。

2. 実験概要

セメントは普通ポルトランドセメント、細骨材は川砂(比重2.55、粗粒率2.82)、粗骨材は由良産の硬質砂岩碎石(比重2.61、最大寸法20mm)、膨張材はデンカCSA #20を使用した。コンクリートの配合を表-1に示す。鋼合成桁構造は図-1に示すものである。また、版主筋方向の曲げ耐力を考察するために図-2に示すはり供試体を作製した。圧縮強度、引張強度および弾性係数を測定するための比較用供試体は $\phi 10 \times 20\text{cm}$ の円柱供試体であり、材令1日で脱型し、試験日まで散水養生(20°C)を行なっている。曲げ供試体は $10 \times 40\text{cm}$ の角柱供試体である。供試体の長さ変化は鉄筋に貼付した電気抵抗線ひずみゲージによつて測定した。基長はコンクリート打込み直後とした。床版の破壊試験は床版中央部に $5 \times 10\text{cm}$ の載荷板をひいて、ジャッキによつて荷重を加えた。はり供試体の破壊試験は中央一点載荷方法とした。

3. 実験結果とその考察

表-3にはりならびに床版の曲げひびわれ発生モーメントを示す。曲げひびわれ発生荷重は荷重直下の引張側鉄筋のひずみが急変する点とした。はりのひびわれ発生モーメントは次式と辺の理論値とによつて算定してみた。 $M_{cr} = (G_{ce} + G_b) Z_e$

(1)式と辺の理論値とはともに実測値よりも低めのモーメントを与えることになる。辺の理論の方が(1)式よりも実測値に近い値を与えている。床版のひびわれ発生モーメントを算定するために、S.G.PINJARKARの理論を適用してみた。はり(2)形供試体の曲げひびわれ発生モーメントは

床版の曲げひびわれ発生モーメントをPINJARKARの理論で求めた値とよく一致することがわかつた。膨張コンクリートの曲げひびわれ発生荷重と普通コンクリートのそれを比べると、前者は後者より1.2倍程度高い。

○Kazuo Togawa, Junji Nakamoto

	スランプ (cm)	W/C+E (%)	S/C (%)	W (kg/m ³)	C+E (kg/m ³)	E (kg/m ³)	S (kg/m ³)	G (kg/m ³)
普通コンクリート	7.5	45	43	180	400	0	735	1000
膨張コンクリート	7.5	45	43	180	400	60	735	1000

E: 単位膨張材量(kg/m³)

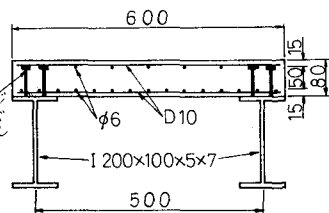


図-1 鋼合成桁床版

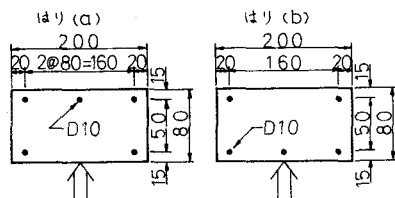


図-2 はり供試体

	圧縮強度 (kg/cm ²)	引張強度 (kg/cm ²)	曲げ強度 (kg/cm ²)	弾性係数 (kg/cm ²)	動弾性係数 (kg/cm ²)
普通コンクリート (材令14日)	348	26	42	145000	4.2×10^5
膨張コンクリート (材令14日)	293	17	37	130000	3.7×10^5

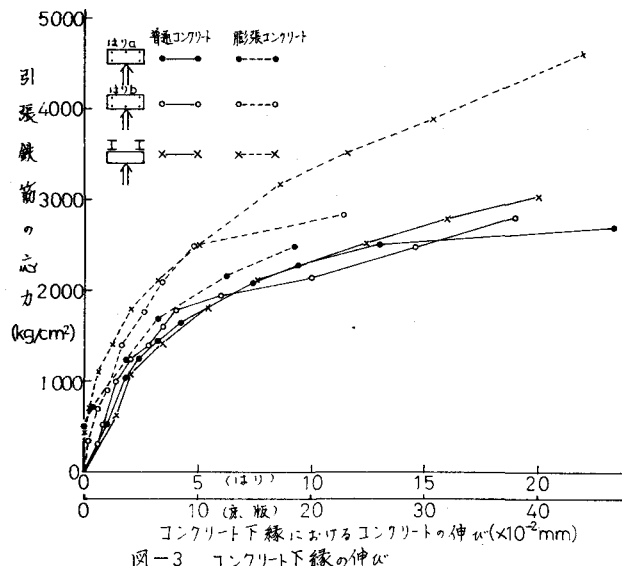


図-3 コンクリート下縁におけるコンクリートの伸び($\times 10^{-2} \text{mm}$)

膨張コンクリートの曲げ破壊モーメント

はりの曲げ破壊試験結果

はりの曲げ破壊モーメントは普通コンクリートと比べて、ほぼ等しいか、若干高くなっている。床版はすぐ押し寄せられ断破壊とした。押し寄せ耐力を算定するために、Mowrer⁴⁾, Hognestad⁵⁾, Moe⁶⁾, Hawkins⁷⁾の各理論を比較検討してみた。

膨張コンクリートの場合 Hawkins の理論が比較的よく、普通コンクリートの場合 Moe の理論が有用と思われる。押し寄せ耐力は膨張コンクリートの方が普通コンクリートよりも高い。膨張コンクリートのはりおよび床版下縁の引張ひずみは普通コンクリートの引張縫ひずみよりも同一鉄筋応力に対して約2倍程度となっている(図-3参照)。膨張コンクリートはりおよび床版の荷重たわみ曲線を実測値を図-4に示す。膨張コンクリートは普通コンクリートよりも同一荷重に対しても、たわみは小さく、約2倍程度である。

- 参考文献： 1) 園田, 藤井, 小林： フレレストレストコンクリート構造学, 国民科学社, 1979.
 2) 辻, 前山： 足利工業大学研究集録, 第3号, 1977. 3) S.G.PINJARKAR: Jour. of ACI, 9, 1973.
 4) R.D.Mowrer, M.D.Vanderbilt: Jour. of ACI, 61, 1967. 5) R.Park: Proc. Inst. of Civil Engineers, 6, 1964.
 6) J.Moe: Development Dept. Bull. Day, PCA, 4, 1961. 7) Hawkins: Proc. ASCE, Jour. ST8, 8, 1974.

表-3 はりの曲げひずみモーメント

	はり(C)	はり(D)	はり(E)
ひずみ荷重比	2.6	2.0	6.2
鉄筋ひずみ	2.0	1.0	6.0
ひずみ荷重比	1.26	0.625	* 1.224
モーメントの理論値 ⁽¹⁾	0.676	0.552	—
モーメントの理論値 ⁽²⁾	0.899	0.805	0.866
ひずみ荷重比	2.8	2.2	8.2
鉄筋ひずみ	2.4	1.4	7.7
ひずみ荷重比	1.5	0.875	* 1.571
モーメントの理論値 ⁽¹⁾	0.927	0.864	—
モーメントの理論値 ⁽²⁾	1.179	0.908	1.278

* $M=0.204 P(t \cdot m)^3$

* ケミカルプレストレス 20.6 kg/cm^2

① 引張強限ひずみ 500×10^{-6}

② 引張強限ひずみ 700×10^{-6}

表-4 はりの曲げ破壊試験結果

	はり(C)	はり(D)
普通コンクリート 実測値 ⁽¹⁾ (t/m/m)	2.363	1.525
理論値 ⁽²⁾ (t/m/m)	1.838	1.254
膨張コンクリート 実測値 ⁽¹⁾ (t/m/m)	2.513	1.513
理論値 ⁽²⁾ (t/m/m)	1.782	1.227

はりの曲げ破壊試験結果

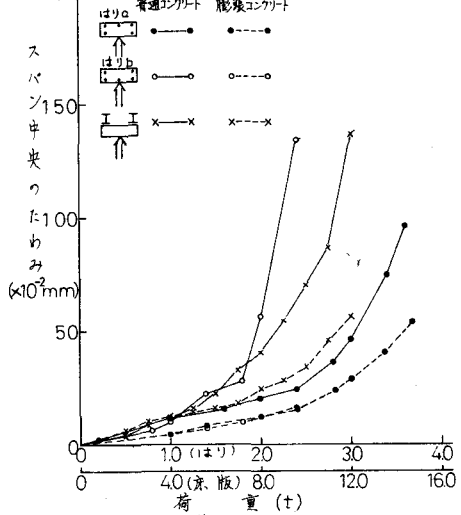


図-4 荷重たわみ曲線

表-5 床版の押し寄せ断耐力

	押し寄せ断耐荷重
普通コンクリート	11.91
膨張コンクリート	13.50
Mowrer ⁴⁾	15.38
Hognestad ⁵⁾	10.04
Moe ⁶⁾	12.76
Hawkins ⁷⁾	10.56
* ケミカルプレストレス $\sigma_c = 20.6 \text{ kg/cm}^2$	